

## บทที่ 2

### กรอบแนวคิด ทฤษฎี และ ผลงานวิจัยที่เกี่ยวข้อง

#### 2.1 ทฤษฎีที่เกี่ยวข้อง

วิธีการวิเคราะห์แบบ Box-Jenkins เป็นวิธีที่นิยมใช้ในการพยากรณ์ข้อมูลที่เป็นอนุกรมเวลาเนื่องจากมีความแม่นยำและเหมาะสมในการพยากรณ์ข้อมูลระยะสั้นในอนาคตซึ่งให้ค่าพยากรณ์ที่ใกล้เคียงกับความเป็นจริง และเป็นที่ยอมรับอย่างกว้างขวาง ดังนั้นจึงเหมาะสมที่จะนำมาใช้ในการพยากรณ์ในงานวิจัยนี้ด้วย

##### 2.1.1 แนวคิดในการพยากรณ์อนุกรมเวลา

อนุกรมเวลาเป็นค่าสังเกตของกลุ่มหรือชุดข้อมูลที่มีขึ้น ณ ช่วงเวลาต่างๆ โดยแบ่งได้เป็น 2 ลักษณะ คือ อนุกรมเวลาต่อเนื่อง เป็นค่าสังเกตที่กระทำในเวลาต่อเนื่องกัน และอนุกรมเวลาไม่ต่อเนื่อง เป็นค่าสังเกตที่กระทำ ณ จุดเวลาใดเวลาหนึ่งที่ไม่ต่อเนื่องกัน การวิเคราะห์อนุกรมเวลาเป็นการวิเคราะห์หาค่าสังเกตที่มีการเปลี่ยนแปลงที่ไม่มีรูปแบบและการเปลี่ยนแปลงที่มีรูปแบบ ซึ่งการเปลี่ยนแปลงอย่างหลังนี้สามารถที่จะนำมาใช้ในการพยากรณ์รูปแบบอนุกรมเวลาในอนาคตได้ (ทรงศักดิ์ ศรีบุญจิตต์ และอารี วิบูลย์พงศ์, 2542)

ในการศึกษาข้อมูลอนุกรมเวลาจะต้องกำหนดรูปแบบให้กับอนุกรมเวลา เนื่องจากมีความจำเป็นที่จะต้องพิจารณาความมีเสถียรภาพและลักษณะรูปแบบพฤติกรรมว่ามีอิทธิพลของฤดูกาลและแนวโน้มเข้ามาเกี่ยวข้องหรือไม่ เมื่อได้รูปแบบของสมการที่จะใช้ในการวิเคราะห์ ก็จะสามารถพยากรณ์ข้อมูลที่ต้องการศึกษาตามวัตถุประสงค์ของการศึกษาต่อไป

##### 2.1.2 การทดสอบความนิ่งของข้อมูลอนุกรมเวลา (Unit Root Test)

การทดสอบ unit root (ทรงศักดิ์ ศรีบุญจิตต์ และอารี วิบูลย์พงศ์, 2542) ได้อธิบายว่าสามารถทดสอบได้โดยใช้การทดสอบ DF (Dickey and Fuller, 1981) และการทดสอบ ADF (Augmented Dickey-Fuller Test) (Said and Dickey, 1984) สมมติฐานว่าง (null hypothesis) ของการทดสอบ DF (Dickey-Fuller Test) คือ  $H_0 : \rho = 1$  จากสมการ(2.1)

$$X_t = \rho X_{t-1} + \varepsilon_t \quad (2.1)$$

โดยที่ถ้าทดสอบพบว่า  $|\rho| < 1$  แล้วแสดงว่า  $X_t$  จะมีลักษณะนิ่งและถ้า  $\rho = 1$  แล้วข้อมูล  $X_t$  จะมีลักษณะไม่นิ่ง อย่างไรก็ตามการทดสอบนี้สามารถทำได้อีกทางหนึ่งซึ่งเหมือนกับสมการ (2.1) กล่าวคือ

$$\Delta X_t = \theta X_{t-1} + \varepsilon_t \quad (2.2)$$

ซึ่ง  $X_t = (1 + \theta)X_{t-1} + \varepsilon_t$  คือสมการที่ (2.1) นั่นเอง โดยที่  $\rho = (1 + \theta)$  ถ้า  $\theta$  ในสมการ (5) มีค่าเป็นลบ จะได้ว่า  $\rho$  ในสมการ (2.1) จะมีค่าน้อยกว่า 1 ดังนั้นสามารถจะสรุปได้ว่าการปฏิเสธ  $H_0 : \theta = 0$  ซึ่งเป็นการยอมรับ  $H_a : \theta < 0$  หมายความว่า  $\rho < 1$  และข้อมูล  $X_t$  มี integration of order zero (Charemza and Deadman, 1979 : 131) นั่นคือ  $X_t$  มีลักษณะนิ่งและถ้าเราไม่สามารถปฏิเสธ  $H_0 : \theta = 0$  ได้ ก็จะหมายความว่า  $X_t$  มีลักษณะไม่นิ่งถ้า  $X_t$  เป็นแนวเดินเชิงสุ่มซึ่งมีความโน้มเอียงทั่วไปรวมอยู่ด้วย (random walk with drift) เราสามารถเขียนแบบจำลองได้ดังนี้

$$\Delta X_t = \alpha + \theta X_{t-1} + \varepsilon_t \quad (2.3)$$

และถ้า  $X_t$  เป็นแนวเดินเชิงสุ่มซึ่งมีความโน้มเอียงทั่วไปรวมอยู่ด้วย (random walk with drift) และมีแนวโน้มตามเวลาเชิงเส้น (linear time trend) เราสามารถเขียนแบบจำลองได้ดังนี้

$$\Delta X_t = \alpha + \beta t + \theta X_{t-1} + \varepsilon_t \quad (2.4)$$

โดยที่  $t =$  เวลา ซึ่งก็จะทำการทดสอบ  $H_0 : \theta = 0$  โดย  $H_a : \theta < 0$  เช่นเดียวกับที่กล่าวมาข้างต้นโดยสรุปแล้ว Dicky and Fuller (1981) ได้พิจารณาสมการถดถอย 3 รูปแบบที่แตกต่างกันในการทดสอบว่ามี unit root หรือไม่ ซึ่ง 3 สมการดังกล่าวได้แก่

Random walk

$$\Delta X_t = X_t - X_{t-1} = \theta X_{t-1} + \varepsilon_t$$

Random walk with drift

$$\Delta X_t = X_t - X_{t-1} = \alpha + \theta X_{t-1} + \varepsilon_t$$

Random walk with drift and trend

$$\Delta X_t = X_t - X_{t-1} = \alpha + \beta t + \theta X_{t-1} + \varepsilon_t$$

โดยตัวพารามิเตอร์ที่อยู่ในความสนใจในทุกสมการ คือ  $\theta$  นั่นคือ  $\theta=0$  ข้อมูล  $X_t$  จะมี unit root โดยการเปรียบเทียบค่าสถิติ t (t-statistic) ที่คำนวณได้กับค่าที่เหมาะสมที่อยู่ในตาราง Dicky-Fuller (Enders, 1995: 221) หรือกับค่าวิกฤติ MacKinnon (Gujarati, 2003:769)

อย่างไรก็ตามค่าวิกฤติ (critical values) จะไม่เปลี่ยนแปลง ถ้าสมการ (2.2), (2.3), (2.4) ถูกแทนที่โดยกระบวนการเชิงอัตถถอย (autoregressive processes)

$$\Delta X_t = \theta X_{t-1} + \sum_{i=1}^p \phi \Delta X_{t-i} + \varepsilon_t \quad (2.5)$$

$$\Delta X_t = \alpha + \theta X_{t-1} + \sum_{i=1}^p \phi \Delta X_{t-i} + \varepsilon_t \quad (2.6)$$

$$\Delta X_t = \alpha + \beta t + \theta X_{t-1} + \sum_{i=1}^p \phi \Delta X_{t-i} + \varepsilon_t \quad (2.7)$$

จำนวนของ lagged difference terms ที่จะนำเข้ามารวมในสมการนั้นมีมากพอที่จะทำให้พจน์ค่าความคลาดเคลื่อน (error terms) มีลักษณะเป็น serially independent และเมื่อนำเอาการทดสอบ DF (Dicky - Fuller) Test มาใช้กับสมการ (2.5), (2.6) และ (2.7) เราจะเรียกว่าการทดสอบ ADF (Augmented Dickey - Fuller) Test ค่าสถิติทดสอบ ADF (ADF Test statistic) มีการแจกแจงเชิงเส้นกำกับ (asymptotic distribution) เหมือนกับสถิติ DF (DF statistic) ดังนั้นก็สามารถใช้ค่าวิกฤติ (critical values) แบบเดียวกัน (Gujarati, 2003: 720)

ในกรณีของการหา lag length ที่เหมาะสมนั้น (Enders, 1995: 277) ได้เสนอแนะว่าวิธีหนึ่งในการหา lag length ที่เหมาะสมนั้น (Enders, 1995: 227) ได้เสนอแนะว่าวิธีหนึ่งในการหา lag length ก็คือเริ่มต้นด้วยการให้มี lag length ที่ยาวมากพอและก็ลดขนาดของ lag length ลงโดยใช้ค่าสถิติทดสอบ t (test) หรือค่าสถิติทดสอบ F (F-test) สมมติว่าเราใช้ lag length เท่ากับ  $n^*$  ถ้าสถิติ t (t-statistic) ของ lag  $n^*$  ไม่มีนัยสำคัญ ณ ค่าวิกฤติที่กำหนดให้ เราก็จะต้องทำการประมาณค่าการถดถอยใหม่โดยใช้ lag length  $n^* - 1$  ทำอย่างนี้เรื่อยไปจนกระทั่ง lag นั้นมีค่าสถิติ t (t-statistic) แตกต่างไปจากศูนย์ อย่างมีนัยสำคัญ

### 2.1.3 การเลือกแบบจำลองที่เหมาะสมจากการทดสอบ Unit Root โดยการทดสอบสัมประสิทธิ์การถดถอย (Deterministic Regressors)

เป็นการทดสอบว่าแบบจำลองใดเป็นแบบจำลองที่มีความเหมาะสมที่สุดระหว่าง กรณีของแบบจำลองที่ไม่มีค่าคงที่และแนวโน้มเวลา (None) แบบจำลองที่มีค่าคงที่ (Intercept) และ

แบบจำลองที่มีทั้งค่าคงที่และแนวโน้มเวลา (Trend and Intercept) โดยการทดสอบความมีนัยสำคัญทางสถิติของสัมประสิทธิ์ของตัวถดถอย (ค่าคงที่หรือค่าแนวโน้มเวลา) โดยมีขั้นตอนการทดสอบดังนี้.

ขั้นตอนที่ 1 เริ่มการทดสอบจากแบบจำลองกรณีที่มีทั้งค่าคงที่และแนวโน้มเวลาตามสมการ (2.8)

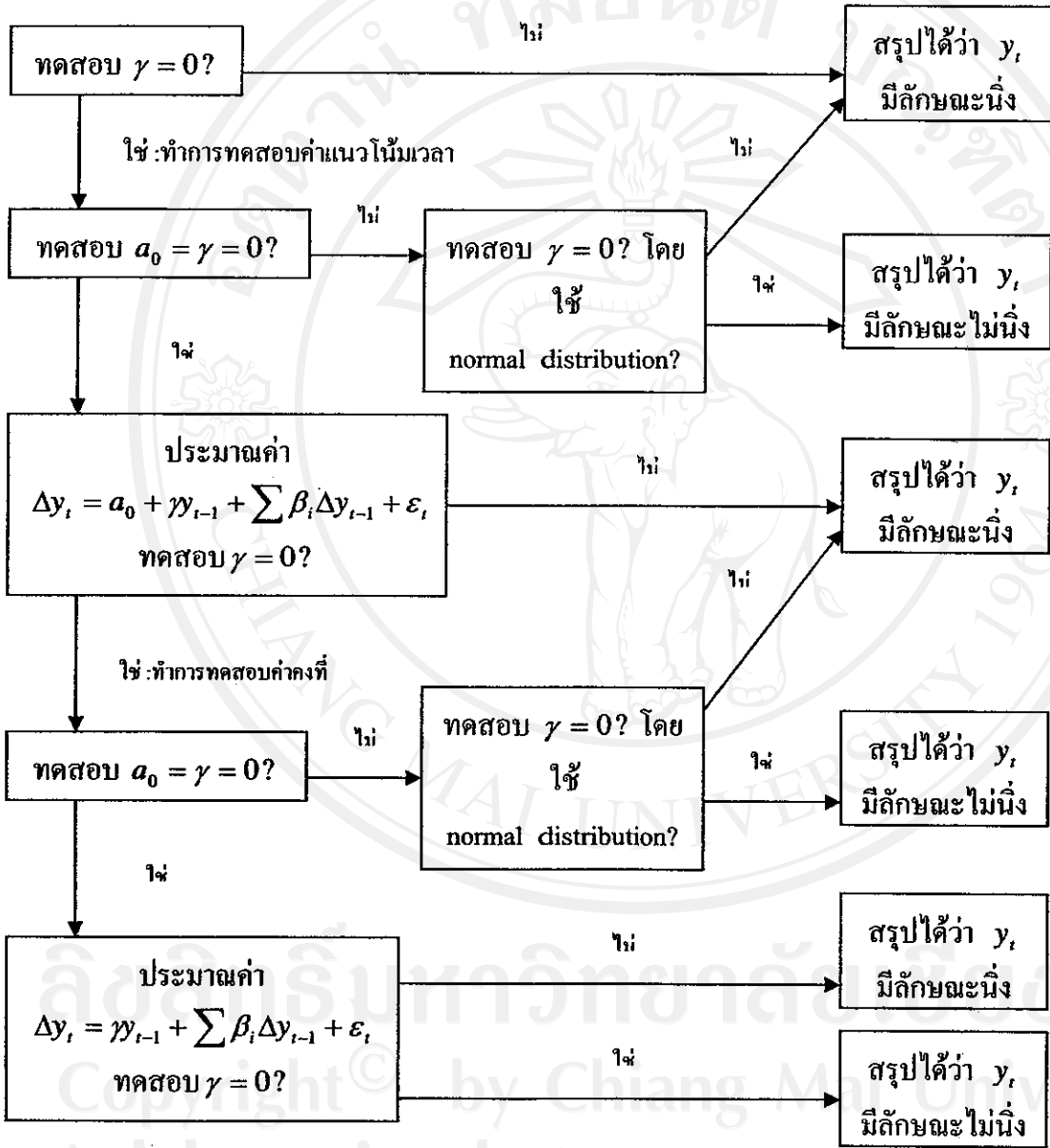
$$\Delta y_t = a_0 + \gamma y_{t-1} + a_2 t + \sum \beta_i \Delta y_{t-i} + \varepsilon_t \quad (2.8)$$

ทำการทดสอบสมมติฐานว่าง  $H_0: \gamma = 0$  โดยใช้  $\tau_r$  statistic ถ้าเกิดการปฏิเสธสมมติฐานว่าง แสดงว่าข้อมูล  $y_t$  มีลักษณะนิ่งแล้ว และเลือกใช้แบบจำลองที่มีทั้งค่าคงที่และแนวโน้มเวลา

ขั้นตอนที่ 2 ถ้าเกิดการยอมรับสมมติฐานว่างในขั้นตอนที่ 1 แสดงว่าในแบบจำลองดังกล่าวมี ซึ่งการมีตัวถดถอยที่ไม่จำเป็นอยู่ในสมการอาจทำให้อำนาจการทดสอบของสมการลดลง ดังนั้นจึงต้องมีการทดสอบความมีนัยสำคัญทางสถิติของค่าแนวโน้ม ( $a_2 t$ ) ที่อยู่ในสมการ โดยการทดสอบสมมติฐานว่าง  $H_0: a_2 = \gamma = 0$  โดยใช้  $\phi_B$  statistic ถ้าค่าสัมประสิทธิ์ของค่าแนวโน้มไม่มีนัยสำคัญทางสถิติให้ข้ามไปขั้นตอนที่ 3 อย่างไรก็ตามถ้าค่าสัมประสิทธิ์ของค่าแนวโน้มมีนัยสำคัญทางสถิติ ให้ทำการทดสอบความไม่นิ่งของข้อมูลอีกครั้งโดยใช้ การแจกแจงแบบปกติมาตรฐาน (standardized normal distribution) ถ้าเกิดการปฏิเสธสมมติฐานว่าง แสดงว่าข้อมูล  $y_t$  มีลักษณะนิ่งแล้วและเลือกใช้แบบจำลองที่มีทั้งค่าคงที่และแนวโน้มเวลาแต่ถ้าเกิดการยอมรับสมมติฐานว่าง แสดงว่าข้อมูล  $y_t$  มีลักษณะไม่นิ่ง

ขั้นตอนที่ 3 ทำการประมาณค่าแบบจำลองตามสมการ (3.8) ที่ปราศจากค่าแนวโน้มเวลา และทดสอบ unit root โดยใช้  $\tau_\mu$  statistic ถ้าเกิดการปฏิเสธสมมติฐานว่าง แสดงว่าข้อมูล  $y_t$  มีลักษณะนิ่งแล้วและเลือกใช้แบบจำลองที่ปราศจากค่าแนวโน้มเวลา แต่ถ้าเกิดการยอมรับสมมติฐานว่างให้ทำการทดสอบความมีนัยสำคัญทางสถิติของค่าคงที่ โดยมีสมมติฐานว่าง  $H_0: a_0 = \gamma = 0$  โดยใช้  $\phi_1$  statistic ถ้าค่าคงที่ไม่มีนัยสำคัญให้ข้ามไปขั้นตอนที่ 4 อย่างไรก็ตามถ้าค่าคงที่มีนัยสำคัญทางสถิติ ให้ทำการทดสอบความไม่นิ่งของข้อมูลอีกครั้งโดยใช้ การแจกแจงแบบปกติมาตรฐาน (standardized normal distribution) ถ้าเกิดการปฏิเสธสมมติฐานว่าง แสดงว่าข้อมูล  $y_t$  มีลักษณะนิ่งแล้วและเลือกใช้แบบจำลองที่มีทั้งค่าคงที่และแนวโน้มเวลาแต่ถ้าเกิดการยอมรับสมมติฐานว่าง แสดงว่าข้อมูล  $y_t$  มีลักษณะไม่นิ่ง

ขั้นตอนที่ 4 ทำการประมาณค่าแบบจำลองตามสมการ (2.8) ที่ปราศจากค่าแนวโน้มเวลา และค่าคงที่และทดสอบ unit root โดยใช้  $T$  statistic ถ้าเกิดการปฏิเสธสมมติฐานว่างแสดงว่าข้อมูล  $y_t$  มีลักษณะหนึ่งแล้วและเลือกใช้แบบจำลองที่ปราศจากค่าแนวโน้มเวลาและค่าคงที่แต่ถ้าเกิดการยอมรับสมมติฐานว่าง แสดงว่าข้อมูล  $y_t$  มีลักษณะไม่หนึ่ง



รูปที่ 2.1 ขั้นตอนการเลือกแบบจำลองที่เหมาะสม ที่มา: Enders (1995)

### 2.1.4 การทดสอบความนิ่งของอนุกรมเวลาแบบฤดูกาล (Seasonal Unit Root Test)

ความสำคัญของการนำข้อมูลอนุกรมเวลามาทำการทดสอบ seasonal unit root เนื่องจากข้อมูลอนุกรมเวลาบางชุดมีความไม่นิ่งของฤดูกาลเข้ามาเกี่ยวข้อง ซึ่งถ้าหากนำข้อมูลที่มีความไม่นิ่งของฤดูกาลมาทำการประมาณค่าแล้วอาจทำให้ผลลัพธ์มีความคลาดเคลื่อนเกิดขึ้นได้ ดังนั้นจึงต้องทำการทดสอบแบบฤดูกาลก่อน โดยการทดสอบมีด้วยกัน 4 แบบคือ ความนิ่งมาตรฐาน (seasonal unit root at zero frequency) ความนิ่งแบบรายครึ่งปี (unit root at the biannual frequency) ความนิ่งแบบรายไตรมาส (unit root with an quarterly frequency) และความนิ่งแบบรายเดือน โดยมีรูปแบบสมการที่ใช้ในการทดสอบดังนี้

$$\begin{aligned}
 X_{8,t} = & \pi_1 X_{1,t-1} + \pi_2 X_{2,t-1} + \pi_3 X_{3,t-2} + \pi_4 X_{3,t-1} + \pi_5 X_{4,t-2} \\
 & + \pi_6 X_{4,t-1} + \pi_7 X_{5,t-2} + \pi_8 X_{5,t-1} + \pi_9 X_{6,t-2} + \pi_{10} X_{6,t-1} \\
 & + \pi_{11} X_{7,t-2} + \pi_{12} X_{7,t-1} + \mu_t + \varepsilon_t
 \end{aligned} \tag{2.9}$$

โดยที่

$\pi_1, \dots, \pi_{12}$  = ค่าสัมประสิทธิ์

$$\begin{aligned}
 X_{1,t} &= (1+L)(1+L^2)(1+L^4+L^8)X_t \\
 &= X_t + X_{t-1} + X_{t-2} + X_{t-3} + X_{t-4} + X_{t-5} + X_{t-6} + X_{t-7} \\
 &\quad + X_{t-8} + X_{t-9} + X_{t-10} + X_{t-11}
 \end{aligned}$$

$$\begin{aligned}
 X_{2,t} &= -(1-L)(1+L^2)(1+L^4+L^8)X_t \\
 &= -X_t + X_{t-1} - X_{t-2} + X_{t-3} - X_{t-4} + X_{t-5} - X_{t-6} + X_{t-7} \\
 &\quad - X_{t-8} + X_{t-9} - X_{t-10} + X_{t-11}
 \end{aligned}$$

$$\begin{aligned}
 X_{3,t} &= -(1-L^2)(1+L^4+L^8)X_t \\
 &= -X_t + X_{t-2} - X_{t-4} + X_{t-6} - X_{t-8} + X_{t-10}
 \end{aligned}$$

$$\begin{aligned}
 X_{4,t} &= -(1-L^4)(1-\sqrt{3}L+L^2)(1+L^2+L^4)X_t \\
 &= -X_t + \sqrt{3}X_{t-1} - 2X_{t-2} + \sqrt{3}X_{t-3} - X_{t-4} + X_{t-6} - \sqrt{3}X_{t-7} \\
 &\quad + 2X_{t-8} - \sqrt{3}X_{t-9} + X_{t-10}
 \end{aligned}$$

$$\begin{aligned}
 X_{5,t} &= -(1-L^4)(1+\sqrt{3}L+L^2)(1+L^2+L^4)X_t \\
 &= -X_t - \sqrt{3}X_{t-1} - 2X_{t-2} - \sqrt{3}X_{t-3} - X_{t-4} + X_{t-6} + \sqrt{3}X_{t-7} \\
 &\quad + 2X_{t-8} + \sqrt{3}X_{t-9} + X_{t-10}
 \end{aligned}$$

$$\begin{aligned}
 X_{6,t} &= -(1-L^4)(1-L^2+L^4)(1-L+L^2)X_t \\
 &= -X_t + X_{t-1} - X_{t-3} + X_{t-4} - X_{t-6} + X_{t-7} - X_{t-9} + X_{t-10}
 \end{aligned}$$

$$\begin{aligned}
 X_{7,t} &= -(1-L^4)(1-L^2+L^4)(1+L+L^2)X_t \\
 &= -X_t - X_{t-1} + X_{t-3} + X_{t-4} - X_{t-6} - X_{t-7} + X_{t-9} + X_{t-10}
 \end{aligned}$$

$$\begin{aligned}
 X_{8,t} &= (1-L^2)X_t \\
 &= X_t - X_{t-2}
 \end{aligned}$$

$$\mu_t = \text{ค่า deterministic component} = D_1 + D_2 + \dots + D_{11} + C$$

$D_1, D_2, \dots, D_{11}$  = Dummy variable

$C$  = ค่าคงที่

$\varepsilon_t$  = ค่าความคลาดเคลื่อน

โดยสมมติฐานว่างของการทดสอบความนิ่งแบบมาตรฐาน คือ  $H_0 : \pi_1 = 0$  เมื่อทำการทดสอบค่า t-test แล้ว  $\pi_1 = 0$  (ยอมรับสมมติฐานว่าง)  $X_{8,t}$  มีลักษณะไม่นิ่งแบบมาตรฐาน สำหรับการทดสอบความนิ่งแบบรายครึ่งปี คือ  $H_0 : \pi_2 = 0$  เมื่อทำการทดสอบค่า t-test แล้ว  $\pi_2 = 0$  (ยอมรับสมมติฐานว่าง)  $X_{8,t}$  มีลักษณะไม่นิ่งแบบรายครึ่งปี และการทดสอบความนิ่งแบบรายไตรมาส โดยใช้การทดสอบ F-test สมมติฐานว่าง  $H_0 : \pi_3 = \pi_4 = 0$  เมื่อทำการทดสอบแล้วค่า F-test ไม่แตกต่างจากศูนย์อย่างมีนัยสำคัญทางสถิติ แสดงว่า  $X_{8,t}$  มีลักษณะไม่นิ่งแบบไตรมาส ไม่แตกต่างจากศูนย์อย่างมีนัยสำคัญทางสถิติที่ระดับ 5 % ใช้ค่าทดสอบที่ได้จาก ตารางแสดงค่าวิกฤติ สำหรับ Seasonal Unit ภาคผนวก ง

### 2.1.5 แนวคิดการวิเคราะห์ข้อมูลอนุกรมเวลาของ Box-Jenkins

วิธีการวิเคราะห์อนุกรมเวลาของ Box-Jenkins เป็นวิธีการพยากรณ์ข้อมูลอนุกรมเวลาโดยการหารูปแบบที่เหมาะสมให้กับข้อมูลเพื่อใช้ในการพยากรณ์ในช่วงระยะเวลาสั้นๆ การกำหนดรูปแบบที่เหมาะสมให้กับอนุกรมเวลานั้นจะใช้ค่าสัมประสิทธิ์สหสัมพันธ์แบบออโต (ACF) และค่าสัมประสิทธิ์สหสัมพันธ์บางส่วนแบบออโต (PACF) ร่วมใช้ในการพิจารณา

รูปแบบ AR(p) หมายถึงรูปแบบที่แสดงว่าค่าสังเกต  $X_t$  จะขึ้นอยู่กับ  $X_{t-1}, X_{t-2}, \dots, X_{t-p}$   
รูปแบบ MA(q) หมายถึงรูปแบบที่แสดงว่าค่าสังเกต  $X_t$  ขึ้นอยู่กับค่าความคลาดเคลื่อน  
 $\varepsilon_{t-1}, \varepsilon_{t-2}, \dots, \varepsilon_{t-q}$

โดยรูปแบบของ AR(p) คือ

$$X_t = \theta_0 + \phi_1 X_{t-1} + \dots + \phi_p X_{t-p} + \varepsilon_t \quad (2.10)$$

และรูปแบบของ MA(q) คือ

$$X_t = \theta_0 + \varepsilon_t + \theta_1 \varepsilon_{t-1} + \dots + \theta_q \varepsilon_{t-q} \quad (2.11)$$

ดังนั้นรูปแบบของ ARMA(p,q) คือ

$$X_t = \theta_0 + \phi_1 X_{t-1} + \dots + \phi_p X_{t-p} + \varepsilon_t + \theta_1 \varepsilon_{t-1} + \dots + \theta_q \varepsilon_{t-q} \quad (2.12)$$

และรูปแบบของ ARIMA(p,d,q) คือ

$$\Delta^d X_t = \theta_0 + \phi_1 \Delta^d X_{t-1} + \dots + \phi_p \Delta^d X_{t-p} + \varepsilon_t + \theta_1 \varepsilon_{t-1} + \dots + \theta_q \varepsilon_{t-q} \quad (2.13)$$

### 2.1.6 แบบจำลองการพยากรณ์โดยวิธี Box – Jenkins

การพยากรณ์อนุกรมเวลาโดยวิธี Box – Jenkins ในรูปแบบ ARIMA(p,d,q) ต้องพิจารณาว่าอนุกรมเวลาเป็น stationary series หรือไม่ โดยพิจารณาจาก

- ค่าเฉลี่ย  $E(X_t)$  คงที่ สำหรับทุกค่าของ  $t$  หรือไม่ จะทำได้โดยการแบ่งอนุกรมเวลาออกเป็นส่วน ๆ แล้วหาค่าความแปรปรวนของอนุกรมเวลาแต่ละส่วน ถ้าค่าเฉลี่ยแต่ละส่วนย่อยไม่แตกต่างกันมากจะสรุปได้ว่า  $E(X_t)$  คงที่

- ค่าความแปรปรวน  $V(X_t)$  คงที่ สำหรับทุกค่าของ  $t$  หรือไม่ จะทำได้โดยการแบ่งอนุกรมเวลาออกเป็นส่วน ๆ แล้วหาค่าความแปรปรวนของอนุกรมเวลาแต่ละส่วนถ้าค่าความแปรปรวนแต่ละส่วนย่อย ไม่แตกต่างกันมากนักจะสรุปได้ว่า  $V(X_t)$  คงที่

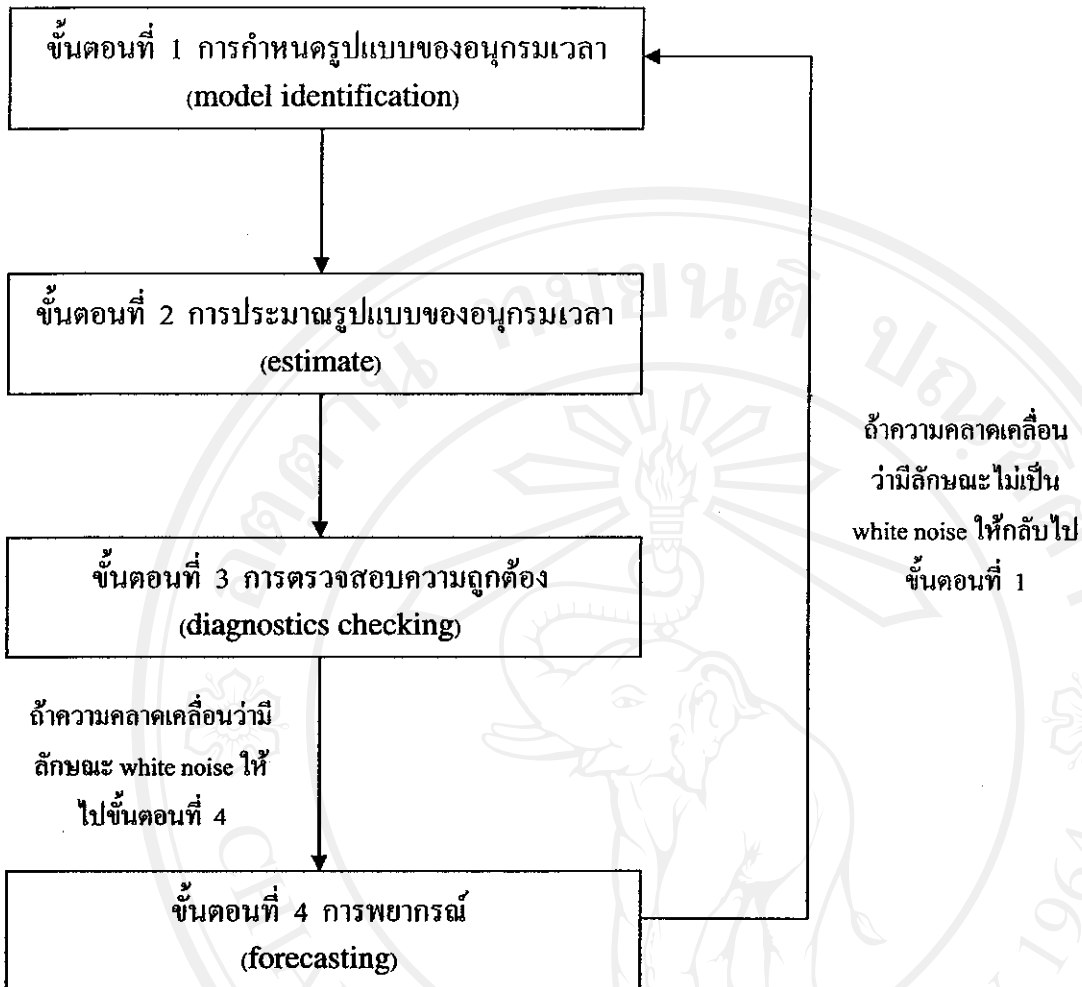
- พิจารณาแนวโน้มและปัจจัยฤดูกาล ด้วยการวาดกราฟอนุกรมเวลา ในกรณีที่มีแนวโน้มและปัจจัยฤดูกาลมักจะเห็นชัดเจนได้จากรูปที่เรียกว่า คอเรโลแกรม (correlogram)

- พิจารณาคอเรโลแกรม ของสัมประสิทธิ์สหสัมพันธ์ของตัวอย่าง ( $r_k$ )



กรณีที่อนุกรมเวลาเป็นแบบ stationary ค่าคอเรลโลแกรม ของสัมประสิทธิ์สหสัมพันธ์ ( $r_k$ ) จะมีค่าลดลงค่อนข้างเร็ว เมื่อ  $k$  มีค่าเพิ่มขึ้นมาก ดังนั้นถ้าค่าสัมประสิทธิ์สหสัมพันธ์ ( $r_k$ ) มีค่าลดลงค่อนข้างช้าจะเป็นข้อสังเกตว่าอนุกรมเวลาชุดนี้มีแนวโน้ม แต่ถ้าค่าสัมประสิทธิ์สหสัมพันธ์ ( $r_k$ ) มีค่าลดลงค่อนข้างช้า และมีค่าค่อนข้างสูงที่  $k = L, 2L, 3L$  จะเป็น ข้อสังเกตว่าอนุกรมเวลาชุดนี้มีแนวโน้มและอิทธิพลของฤดูกาลและถ้าการเคลื่อนไหวของค่า คอเรลโลแกรมของสัมประสิทธิ์สหสัมพันธ์ ( $r_k$ ) มีลักษณะคล้ายลูกคลื่น โดยคลื่นจะครบรอบภายใน 2 ช่วงเวลา แสดงว่าอนุกรมเวลามีอิทธิพลของฤดูกาลเข้ามาเกี่ยวข้อง

เมื่อพิจารณาจากการตรวจสอบแล้วว่าอนุกรมเวลาที่ศึกษาไม่มีลักษณะหนึ่ง ก่อนจะทำการกำหนดรูปแบบให้กับอนุกรมเวลาที่ไม่นิ่ง จะต้องแปลงอนุกรมเวลาที่มีลักษณะหนึ่ง เสียก่อนโดยการหาผลต่างสำหรับอนุกรมเวลาที่มีแนวโน้ม ถ้าอนุกรมเวลามีทั้งแนวโน้มอิทธิพลฤดูกาลให้หาผลต่างฤดูกาลจนได้อนุกรมเวลาที่มีลักษณะหนึ่ง ถ้าอนุกรมเวลามีทั้งแนวโน้มและอิทธิพลฤดูกาลให้หาผลต่างฤดูกาลได้อนุกรมเวลาที่มีลักษณะหนึ่ง แต่ถ้าอนุกรมเวลาที่มีความแปรปรวนไม่คงที่ ให้แปลงอนุกรมเวลาเดิมโดยการหา ลอการิทึม  $Z = \log(X_t)$  จนกว่าจะได้อนุกรมเวลาใหม่ ที่มีความแปรปรวนคงที่ จากอนุกรมเวลาใหม่เป็น stationary series แล้วจะทำตามขั้นตอนของ Box and Jenkin ดังรูปที่ 2.2



รูปที่ 2.2 ขั้นตอนการพยากรณ์โดยวิธี Box and Jenkins

### 1) การกำหนดรูปแบบจำลอง (identification)

การกำหนดรูปแบบจำลองให้กับอนุกรมเวลาที่เป็น stationary series เป็นการหา รูปแบบ ARMA (p,q) ที่คาดว่าจะเหมาะสมให้กับอนุกรมเวลาโดยที่ autocorrelation :  $r_k$  คือการวัด ความสัมพันธ์ของแต่ละช่วงเวลา โดยมีช่วงเวลาที่ย้อนกลับไป  $k$  หน่วยเวลา โดยที่  $r_k$  มีค่าเท่ากับ  $-1 < r_k < 1$  โดยพิจารณาเปรียบเทียบค่า autocorrelation ( $r_k$ ) ของอนุกรมเวลาดังกล่าวกับค่า autocorrelation ( $r_k$ ) ของอนุกรมเวลาของประชากรที่มีช่วงเวลาย้อนหลังไป  $k$  หน่วยเวลา ซึ่งมี สูตรดังนี้

$$r_k = \frac{\sum_{t=a}^{n-k} (X_{t-q})(X_{t+k-q})}{\sum_{t=a}^n (X_{t-q})^2} \quad (2.14)$$

$$\text{โดยที่ } X_t = \sum_{i=a}^n (X_i)$$

q = จำนวนเวลาสุดท้ายที่ย้อนหลัง

Partial Autocorrelation ( $r_{kk}$ ) คือการวัดสัมพันธภาพของแต่ละช่วงเวลาโดยมีช่วงเวลาย้อนหลังไป k หน่วยเวลา โดยพิจารณาเปรียบเทียบค่า Partial autocorrelation ( $r_{kk}$ ) ของอนุกรมเวลาดังกล่าวกับ Partial autocorrelation ( $\rho_{kk}$ ) ของอนุกรมเวลาของประชากรที่มีเวลาย้อนหลังไป k หน่วยเวลา ซึ่งมีสูตรดังนี้

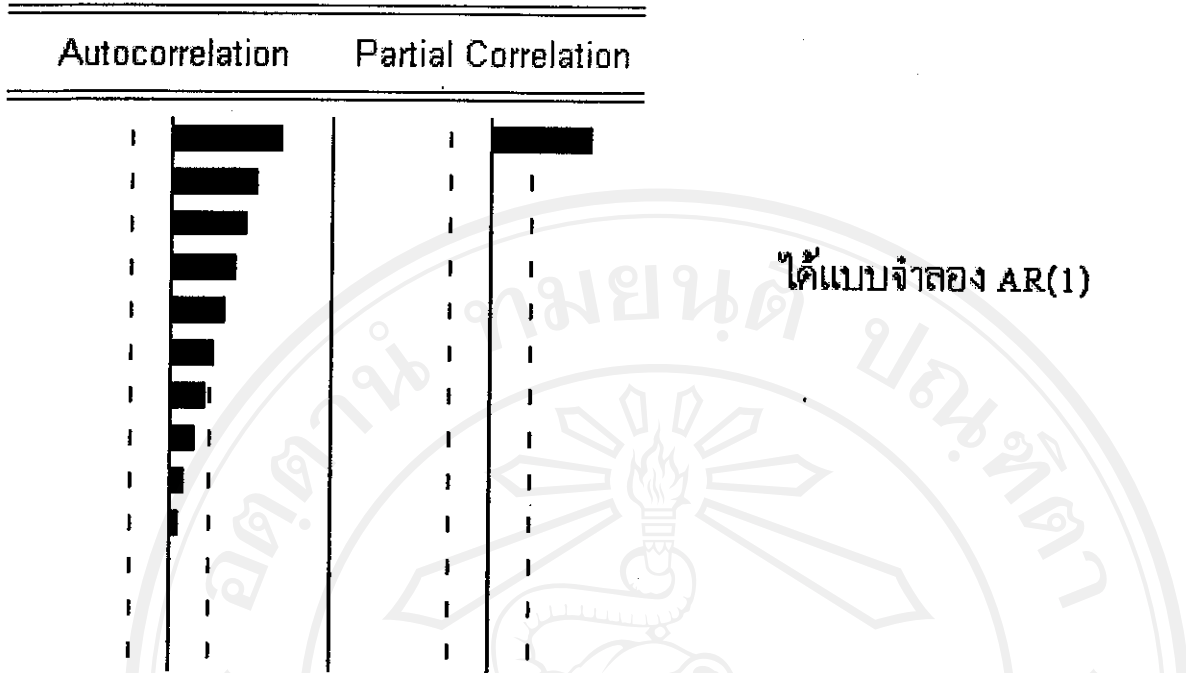
$$r_{kk} = \frac{\sum_{j=1}^{k-1} (r_{k-1})(r_{k-j})}{\sum_{j=1}^{k-1} (r_{k-1,j})(r_j)} \quad (2.15)$$

การกำหนดลำดับขั้น p, q ในแบบจำลอง (identifying the dependence order of model) ขั้นตอนคือการระบุว่าแบบจำลองนี้ควรมี autoregressive, p เท่าใด differencing, d ที่ลำดับเท่าใด และ moving average, q เท่าใด โดยพิจารณาจาก ACF และ PACF ซึ่งอาจจะใช้ตารางดังต่อไปนี้พิจารณาร่วม

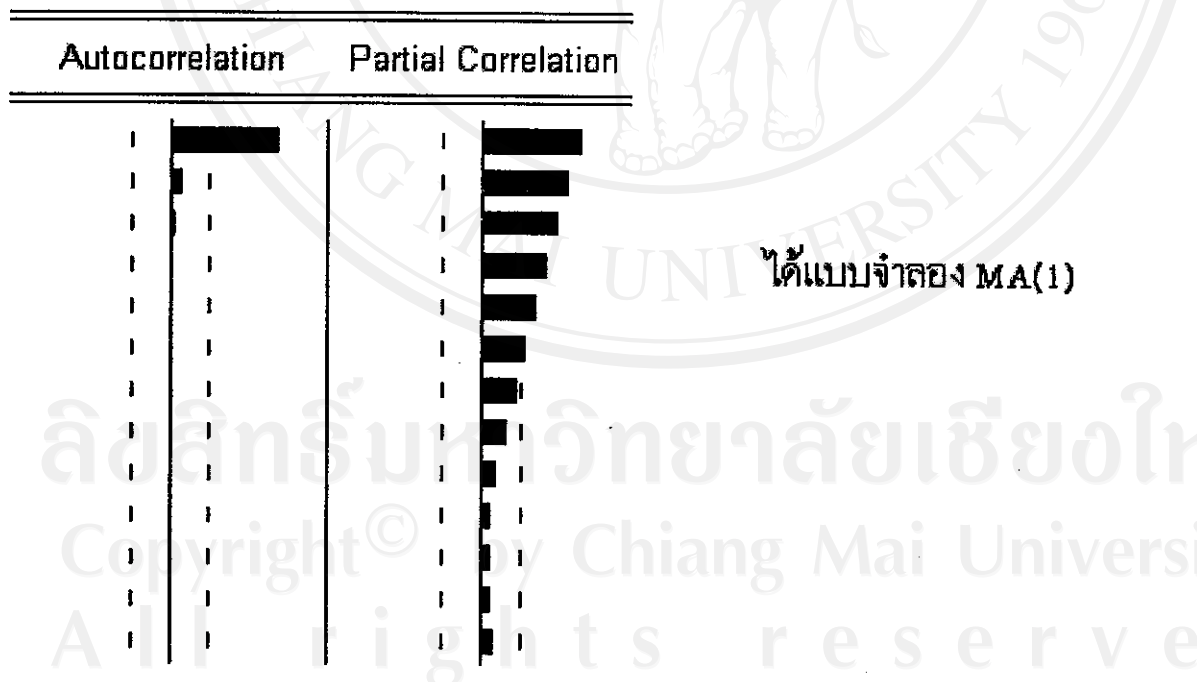
ตารางที่ 2.1 การพิจารณา ACF และ PACF

ชนิดของแบบจำลอง	รูปแบบของ ACF	รูปแบบของ PACF
AR(p)	ตู้โค้งเข้าหาแกน (tails off)	เกิดค่าที่ชัดเจนเพียง p ค่าแล้ว หายไป (cut off after lag p)
MA (q)	เกิดค่าที่ชัดเจนเพียง q ค่าแล้ว หายไป (cut off after lag q)	ตู้โค้งเข้าหาแกน (tails off)
ARMA (p, q)	ตู้โค้งเข้าหาแกน (tails off)	ตู้โค้งเข้าหาแกน (tails off)

ที่มา: Gujarati (2003)

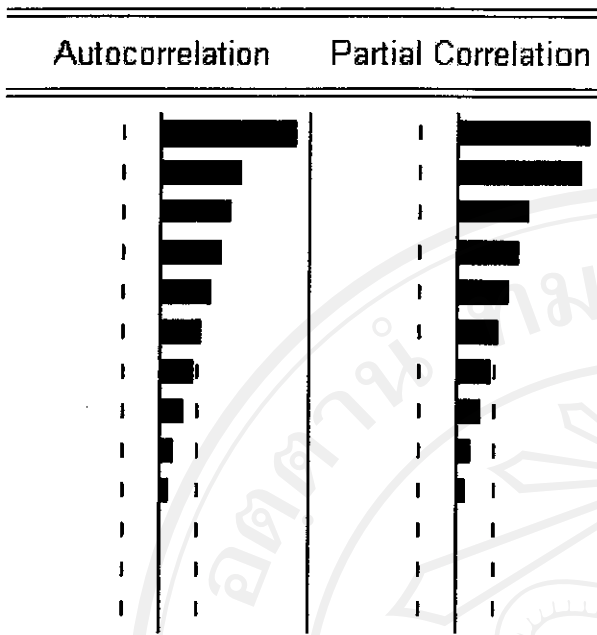


รูปที่ 2.3 ตัวอย่างการเกิดแบบจำลอง AR(1)



รูปที่ 2.4 ตัวอย่างการเกิดแบบจำลอง MA(1)

ลิขสิทธิ์มหาวิทยาลัยเชียงใหม่  
 Copyright © by Chiang Mai University  
 All rights reserved



ได้แบบจำลอง ARMA(2,1)

รูปที่ 2.5 ตัวอย่างการเกิดแบบจำลอง ARMA(2,1)

จากตารางที่ 2.1 จะสามารถกำหนดรูปแบบของแบบจำลองได้ดังนี้ หากคอเรลโลแกรมของ ACF มีลักษณะโค้งลู่เข้าหาแกนในระนาบ ในขณะที่คอเรลโลแกรม PACF เกิดมีค่าขึ้นมาไม่กี่ค่าแล้วหายไป จำนวนของแท่งของค่าที่เกิดขึ้นมา ให้นับเป็น ค่าที่  $p$  ของ AR( $p$ ) ยกตัวอย่างเช่นเมื่อพิจารณา คอเรลโลแกรมของ ACF ที่โค้งลู่เข้าแกนระนาบ และ PACF ที่มีแท่งคอเรลโลแกรมเกิดขึ้น 1 แท่ง แปลได้ว่าแบบจำลองควรมีลักษณะเป็น AR(1) สำหรับ MA( $q$ ) นั่นก็จะมี ACF ที่เกิดขึ้นมาไม่กี่ค่าแล้วหายไป ในขณะที่ PACF จะลู่โค้งเข้าหาแกนระนาบนั้น ยกตัวอย่างเช่น หากค่า ACF เกิดแท่งคอเรลโลแกรมขึ้นเพียง 2 แท่งและหลังจากนั้นก็หายไป ในขณะที่ PACF โค้งลู่เข้าหาแกนระนาบ สามารถสรุปได้ว่าแบบจำลองควรมีลักษณะเป็น MA(2) และหาก ACF และ PACF โค้งลู่เข้าหาแกนระนาบทั้งคู่ แบบจำลองควรจะเป็น ARMA( $p, q$ ) และเมื่อรวมกันกับการทดสอบความนิ่ง ในขั้นตอนที่ 1 แล้ว จะสามารถหาค่าของ difference จำนวน  $d$  ครั้งนั้นก็จะได้แบบจำลอง ARIMA( $p, d, q$ ) แต่อย่างไรก็ตามหลักการดังกล่าวก็เป็นเพียงเครื่องช่วยการพิจารณาในระดับหนึ่งเท่านั้นดังนั้นเพื่อประเมินแบบจำลองว่าแบบจำลองใดมีความเหมาะสมที่จะใช้เป็นตัวแทนกลุ่มข้อมูลจริง สามารถพิจารณาได้จากค่าสถิติดังต่อไปนี้เพื่อประกอบในการตัดสินใจ

- ค่ารากที่สองของค่าเฉลี่ยค่าความคลาดเคลื่อนกำลังสอง (root mean square error : RMSE) โดยจะเป็นการวัดค่าความคลาดเคลื่อนระหว่างค่าจริง และค่าที่ประมาณจากแบบจำลองมีความแตกต่างกันมากน้อยเพียงใด ซึ่งหากค่า RMSE มีค่าเท่ากับ 0 จะหมายถึงแบบจำลองที่

ประมาณได้มีค่าเท่ากับค่าจริงพอดี ดังนั้นหากว่าค่า RMSE มีค่าน้อยเพียงใดก็แสดงว่าแบบจำลองนั้นสามารถเป็นตัวแทนค่าจริงได้ดีมากเพียงนั้น สามารถพิจารณาสมการค่ารากที่สองของค่าเฉลี่ยค่าความคลาดเคลื่อนกำลังสอง (RMSE) ได้ดังนี้

$$\text{RMSE} = \sqrt{\frac{1}{T} \sum_{i=1}^T (X_i^s - X_i^a)^2} \quad (2.16)$$

กำหนดให้  $X_i^s$  = ค่าที่ประมาณจากแบบจำลอง

$X_i^a$  = ค่าข้อมูลจริง

T = จำนวนของคาบเวลาที่ใช้ในการประมาณแบบจำลอง

- ค่า Theil's Inequality Coefficient โดยในหลักการเบื้องต้น พบว่าสมการที่ใช้นี้ยังคงมีหลักการที่คล้ายคลึงกันกับ RMSE โดยสิ่งที่ต่างออกไปจาก RMSE คือค่าสถิตินี้จะมีค่าอยู่ระหว่าง 0 และ 1 ทั้งนี้หากค่า U มีค่าเท่ากับศูนย์ นั่นก็หมายความว่าค่าที่ได้จากการประมาณมีค่าเท่ากับพอดีกับค่าที่เป็นข้อมูลจริงแสดงถึงแบบจำลองที่ประมาณได้เป็นแบบจำลองที่แย่มาก ดังนั้นวิธีการพิจารณาค่าสถิตินี้ให้เลือกรูปแบบจำลองที่มีค่า U ที่น้อย ๆ

$$U = \frac{\sqrt{\frac{1}{T} \sum_{i=1}^T (X_i^s - X_i^a)^2}}{\sqrt{\frac{1}{T} \sum_{i=1}^T (X_i^s)^2 + \frac{1}{T} \sum_{i=1}^T (X_i^a)^2}} \quad (2.17)$$

กำหนดให้  $X_i^s$  = ค่าที่ประมาณจากแบบจำลอง

$X_i^a$  = ค่าข้อมูลจริง

T = จำนวนของคาบเวลาที่ใช้ในการประมาณแบบจำลอง

อย่างไรก็ตามยังมีค่าสถิติอีกหลายอย่างที่สามารถนำมาพิจารณาประกอบรวมกันกับ RMSE และ Theil's Inequality Coefficient เพื่อใช้ในการเลือกแบบจำลองที่เหมาะสมที่สุด อาทิ เช่น  $R^2$ , Adjusted  $R^2$  และ Akaike Information Criterion (AIC) ซึ่งสามารถอธิบายได้ดังต่อไปนี้

- ค่า  $R^2$  คือการวัดค่าตัวแปรอิสระสามารถอธิบายตัวแปรตามได้ดีเพียงใด หากค่านี้เท่ากับ 1 ก็หมายความว่าตัวแปรอิสระสามารถอธิบายตัวแปรตามได้ 100% ในทางกลับกัน หากค่านี้มีค่าเท่ากับ 0 แปลความหมายว่าตัวแปรอิสระเข้าไปในสมการมาก ก็จะทำให้ค่า  $R^2$  มากขึ้นด้วย ซึ่งนับข้อจำกัดของค่าสถิตินี้ โดยสามารถพิจารณารูปแบบสมการได้จากสมการที่ (2.17)

ดังนั้นเพื่อปรับปรุงข้อจำกัดดังกล่าวข้างต้น จึงเกิดค่าสถิติใหม่ คือค่า Adjusted  $R^2$  ( $\bar{R}^2$ ) ซึ่งจะมีการหักผันกันระหว่างตัวแปรที่เพิ่มเข้าไปกับค่า  $R^2$  ที่ได้เพิ่มขึ้นมา ดังแสดงในสมการที่ (2.19)

$$R^2 = 1 - \frac{\sum u_i^2}{\sum y_i^2} \quad (2.18)$$

$$\bar{R}^2 = 1 - \frac{\sum u_i^2 / (n-k)}{\sum y_i^2 / (n-1)} \quad (2.19)$$

- Akaike's Information Criterion (AIC) คือค่าสถิติที่ประยุกต์คล้ายกับ  $\bar{R}^2$  แต่ใช้รูปแบบการใส่ค่าลอการิทึมฐานธรรมชาติ (natural logarithm) โดยหากค่าสถิตินี้มีค่าน้อยเพียงใดนั้นก็แปลว่าแบบจำลองที่ประมาณได้นั้นสามารถเป็นตัวแทนข้อมูลจริงได้ดีเพียงนั้น ทั้งนี้ค่าสถิตินี้เหมาะที่จะนำไปใช้ในการหาค่าย้อนหลัง (lag length) ที่เหมาะสมอีกด้วย

$$AIC = \left( \frac{2k}{n} \right) + \log \left( \frac{\sum u_i^2}{n} \right) \quad (2.20)$$

กำหนดให้  $\sum u_i^2$  = ผลรวมของค่าความคลาดเคลื่อน  
N = ค่าสังเกตทั้งหมด

- ค่า Schwarz's Bayesian Information Criterion (SBC) คือ วิธีการวัดปรับได้อย่างดี (Goodness of Fit) เป็นวิธีที่ประยุกต์คล้ายกับ Akaike's Information Criterion (AIC) การพิจารณาค่า SBC นั้น ถ้าหากพบค่า SBC มีค่าน้อยเท่าใดแล้วแสดงว่าแบบจำลองนั้นสามารถใช้เป็นตัวแทนของข้อมูลจริงได้อย่างเหมาะสม ซึ่งมีรูปสมการดังนี้

$$SBC = \log \left( \frac{\sum u_i^2}{n} \right) + \left( \frac{2k \log n}{n} \right) \quad (2.21)$$

จากค่าสถิติข้างต้นทั้งหมดจะนำมาใช้ประกอบในการพิจารณาเลือกแบบจำลอง ARIMA(p,d,q) ที่เหมาะสมที่สุด โดยจะคัดเลือกแบบจำลองในขั้นตอนนี้ไว้ 3-4 แบบจำลองเพื่อการเลือกอีกครั้งเพื่อที่จะเปรียบเทียบว่าแบบจำลองใดจะมีความสามารถในการพยากรณ์มากที่สุด

## 2) การประมาณค่าพารามิเตอร์ (Parameter estimation)

การประมาณค่าสัมประสิทธิ์ที่มาจากรูปแบบการถดถอยในตัวเอง (autoregressive; AR : p) และรูปแบบการเคลื่อนที่ของค่าคลาดเคลื่อน (moving average; MA : q) โดยสามารถเลือกใช้วิธีการถดถอยเชิงเส้นอย่างง่าย (simple least square) แต่สามารถที่จะใช้วิธีการถดถอยแบบไม่เป็นเชิงเส้น (nonlinear) ได้เพื่อสร้างความสัมพันธ์ของสมการที่จะสามารถนำไปใช้ในการพยากรณ์หารูปแบบความสัมพันธ์นั้นเป็นรูปแบบที่มีความเหมาะสมที่สุด

## 3) การตรวจสอบแบบจำลอง (diagnostics)

เมื่อกำหนดรูปแบบและประมาณค่าพารามิเตอร์ในแบบจำลองจะต้องตรวจสอบทุกครั้งว่ารูปแบบที่กำหนดนั้นมีความเหมาะสมจริงหรือไม่ การตรวจสอบสามารถทำได้หลายวิธี ยกตัวอย่างเช่น การพิจารณาคอเรโลแกรมของอัตสหสัมพันธ์ของกลุ่มตัวอย่าง ( $r_k$ ) แต่อย่างไรก็ตาม Gujarati ได้เสนอการทดสอบวิเคราะห์ความเหมาะสมของแบบจำลองโดยใช้การทดสอบของ Box – pierce ซึ่งแสดงได้โดยใช้ Q-statistic

$$Q - \text{statistic} = n \sum_{k=1}^m \rho_k^2 \quad (2.22)$$

กำหนดให้  $n$  = จำนวนของข้อมูล

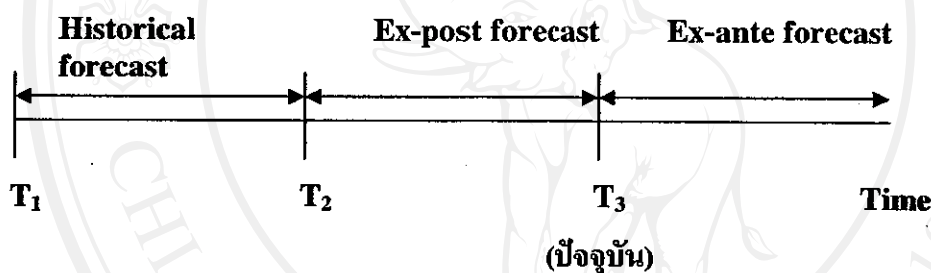
$m$  = ค่า lag length

จากสมการ ค่า Q - statistic ของแบบจำลองไม่แตกต่างกัน นั้นจะพบว่ามีแจกแจงเป็นแบบ chi - square ที่มีดีกรีเท่ากับ  $m$  ซึ่งอยู่ภายใต้ข้อสมมุติฐานว่าง สมมุติฐานว่าง คือค่าความคลาดเคลื่อนที่ได้จากการประมาณมีลักษณะเป็น white noise หรือ  $\varepsilon_t$  มีการกระจายแบบปกติ (normal distribution) มีค่าเฉลี่ยเท่ากับ 0 และมีค่าความแปรปรวนเท่ากับ  $\sigma^2 I$  ( $\varepsilon_t \sim N(0, \sigma^2 I)$ ) แสดงว่า  $\varepsilon_t$  มีลักษณะปราศจากอัตสหสัมพันธ์ (autocorrelation) ดังนั้นหากตรวจสอบพบว่าแบบจำลองนั้นปราศจากอัตสหสัมพันธ์แล้ว จะใช้แบบจำลองนั้นในการพยากรณ์ต่อไป แต่หากแบบจำลองนั้นไม่เหมาะสมต้องทำตามขั้นตอนที่ 1 เพื่อกำหนดรูปแบบจำลองใหม่



#### 4) การพยากรณ์ (forecasting)

เมื่อได้แบบจำลองที่เหมาะสมภายหลังจากการวิเคราะห์ความถูกต้องแล้ว ก็สามารถนำแบบจำลองใช้ในการพยากรณ์ แต่เนื่องจากการพยากรณ์ข้อมูลไปข้างหน้าจำเป็นต้องใช้แบบจำลองที่ให้ค่าประมาณที่แม่นยำที่สุด ดังนั้นการพยากรณ์จึงต้องมีการทดสอบโดยการแบ่งการพยากรณ์ออกเป็น 3 ช่วง คือ Historical forecast ( $T_1-T_2$ ) และช่วง Ex-post forecast ( $T_2-T_3$ ) เป็นการพยากรณ์ตั้งแต่อดีตจนถึงเวลาที่พิจารณา การพยากรณ์แล้วเปรียบเทียบข้อมูลจริงกับข้อมูลที่ได้จากการพยากรณ์ โดยพิจารณาค่า root mean square error (RMSE) และ Theil's inequality coefficient (U) และค่า Akaike Information Criterion (AIC) จะพิจารณาค่าสถิติทั้งสามค่าที่มีค่าน้อยที่สุดซึ่งได้จากการทำการพยากรณ์เมื่อเลือกรูปแบบจำลองที่ดีที่สุดแล้วจึงนำแบบจำลองนั้นมาทำการพยากรณ์แบบ Ex-ante forecast ซึ่งเป็นการพยากรณ์ข้อมูลไปข้างหน้าดังรูป



รูปที่ 2.6 ช่วงเวลาที่ใช้ในการพยากรณ์  
ที่มา: Pindyck and Rubinfeld (1998)

#### 2.2 สรุปสาระสำคัญจากเอกสารที่เกี่ยวข้อง

เพียงจันทร์ ลิขิตเอกราช (2535) ศึกษาเรื่องการกระจายรายได้จากการท่องเที่ยวกรณีศึกษางานนมกรรมไม้ดอกไม้ประดับในจังหวัดเชียงใหม่ โดยมีวัตถุประสงค์เพื่อศึกษาแบบแผนค่าใช้จ่ายของนักท่องเที่ยวของเชียงใหม่ การกระจายรายได้จากการท่องเที่ยวไปสู่ธุรกิจขนาดใหญ่ ขนาดกลางหรือขนาดเล็ก ที่รองรับการท่องเที่ยว รวมทั้งผู้ใช้แรงงานในธุรกิจเหล่านั้น และต้นทุนระหว่างรัฐและเอกชน และสัดส่วนรายได้ (cost/income sharing) จากงานนมกรรมไม้ดอกไม้ประดับของจังหวัดเชียงใหม่ ที่ตกแก่ภาคเกษตร ภาคอุตสาหกรรมและภาคบริการ โดยทำการศึกษา ศึกษาพฤติกรรมและแบบแผนค่าใช้จ่ายของนักท่องเที่ยวทั้งชาวไทยและต่างประเทศ ที่มาเที่ยวงาน ไม้ดอกไม้ประดับจังหวัดเชียงใหม่ 2 ช่วงคือ ช่วงที่จัดงานเทศกาล และช่วงปกติที่ไม่

มีงานเทศกาล โดยใช้แบบสอบถามเก็บข้อมูลนักท่องเที่ยว พบว่าการจัดการงานไม้ดอกไม้ประดับ ในช่วงวันที่ 7-9 กุมภาพันธ์ 2535 ก่อให้เกิดรายได้แก่จังหวัดเชียงใหม่ 105.28 ล้านบาทและเกิดรายได้เพิ่มจากปกติ 45 ล้านบาท โดยจะกระจายไปสู่ธุรกิจประเภทพาหนะเดินทางมากที่สุด ประมาณ 29.3 ล้านบาท ส่วนธุรกิจประเภทขายของที่ระลึกและธุรกิจที่พัก ก็ได้รับรายได้สูงเช่นกัน ตัวแปรที่มีผลต่อการใช้จ่ายของนักท่องเที่ยว คือตัวแปรด้านรายได้ และตัวแปรด้านประชากร

**ขวัญฤทัย บุญยะเสนา (2544)** ศึกษาเรื่องการวิเคราะห์อุปสงค์การท่องเที่ยวเชิงนิเวศในอำเภออุ้มผางจังหวัดตาก โดยมีวัตถุประสงค์เพื่อศึกษาถึงอุปสงค์ของการท่องเที่ยวเชิงนิเวศในอำเภออุ้มผาง จังหวัดตาก และศึกษาถึงนโยบาย มาตรการและงบประมาณของภาครัฐในการส่งเสริมท่องเที่ยว ในอำเภออุ้มผาง จังหวัดตากและแนวทางแก้ไขปัญหาดังกล่าว โดยทำการศึกษาอุปสงค์การท่องเที่ยวเชิงนิเวศในอำเภออุ้มผาง จังหวัดตาก โดยใช้แบบสอบถามสำรวจความคิดเห็นจากนักท่องเที่ยวที่เดินทางไปท่องเที่ยวที่ อำเภออุ้มผาง จังหวัดตาก ผลการศึกษาพบว่า นักท่องเที่ยวที่มา มีวัตถุประสงค์เพื่อพักผ่อน พักผ่อน ส่วนใหญ่มาพร้อมกับกลุ่มเพื่อน ใช้รถยนต์เป็นพาหนะ จำนวนวันค้างแรมเฉลี่ย 3 วัน ค่าใช้จ่ายเฉลี่ย 1,484.11 บาทต่อคนต่อวันความสัมพันธของอุปสงค์ของการท่องเที่ยว (จำนวนวันพัก) กับอายุ มีทิศทางตรงกันข้าม แต่ความสัมพันธ์ของอุปสงค์ของการท่องเที่ยว (จำนวนวันพัก) กับจำนวนวันหยุดในรอบปี และจำนวนครั้งที่เคยมาเที่ยว มีทิศทางเดียวกัน

**สุพรรณมา หัตถภาค (2545)** ศึกษาเรื่องปัจจัยที่ดึงดูดนักท่องเที่ยวชาวต่างประเทศให้มาท่องเที่ยวจังหวัดเชียงใหม่ โดยมีวัตถุประสงค์เพื่อศึกษาวิเคราะห์ถึงปัจจัยที่ดึงดูดนักท่องเที่ยวชาวต่างประเทศให้เดินทางท่องเที่ยวจังหวัดเชียงใหม่ โดยทำการศึกษาเฉพาะนักท่องเที่ยวชาวต่างประเทศที่มาเยือนและพักค้างคืนในจังหวัดเชียงใหม่ โดยกำหนดปัจจัยทั้งหมด 6 หมวดคือ 1) ปัจจัยด้านศิลปวัฒนธรรม 2) ปัจจัยด้านแหล่งท่องเที่ยวทางธรรมชาติ 3) ปัจจัยด้านการบริการและอรรถาศัยไมตรี 4) ปัจจัยด้านความปลอดภัย 5) ปัจจัยด้านค่าใช้จ่าย และ 6) ปัจจัยอื่นๆ โดยใช้ข้อมูลปฐมภูมิจากการเก็บแบบสอบถาม ส่วนข้อมูลทุติยภูมิจากเอกสารของหน่วยงานราชการ โดยพบว่า ปัจจัยด้านศิลปวัฒนธรรมเป็นปัจจัยอันดับแรก รองลงมาคือปัจจัยด้านท่องเที่ยว ปัจจัยด้านการให้บริการและอรรถาศัยไมตรี ปัจจัยด้านความปลอดภัย ปัจจัยด้านค่าใช้จ่าย และปัจจัยอื่นๆ ตามลำดับ

**อนันตปริย ไชยวรรณ (2546)** ศึกษาเรื่องการประยุกต์ใช้โคอินทิเกรชันและแบบจำลองเอเรอร์คอร์เรชันกับอัตราแลกเปลี่ยนเงินตราต่างประเทศในภูมิภาคเอเชีย โดยมีวัตถุประสงค์เพื่อประยุกต์ใช้โคอินทิเกรชันและแบบจำลองเอเรอร์คอร์เรชันกับอัตราแลกเปลี่ยนเงินตราต่างประเทศในภูมิภาคเอเชีย และศึกษาถึงปัจจัยที่มีอิทธิพลต่ออัตราแลกเปลี่ยนเงินตราต่างประเทศของแต่ละประเทศในภูมิภาคเอเชีย โดยทำการศึกษา ศึกษาเฉพาะกลุ่มประเทศเอเชีย 6 ประเทศ คือ ไทย ญี่ปุ่น เกาหลีใต้ มาเลเซีย ฟิลิปปินส์ และสิงคโปร์ โดยใช้เทคนิคโคอินทิเกรชันและแบบจำลองเอเรอร์คอร์เรชัน โดยใช้ข้อมูลตั้งแต่เดือนกรกฎาคม 2540 ถึง มิถุนายน 2545 พบว่าดัชนีราคาผู้บริโภคเป็นปัจจัยหลัก และอัตราแลกเปลี่ยนมีความสัมพันธ์ในระยะสั้นกับปริมาณเงิน โดยเปรียบเทียบ และรายได้ประชาชาติแท้จริงโดยเปรียบเทียบ

**ฉัตรสุดา อู่เนื่อง (2546)** ศึกษาเรื่องการวิเคราะห์ปัจจัยที่มีผลต่อการท่องเที่ยวโบราณสถานเวียงกุมกาม โดยมีวัตถุประสงค์เพื่อศึกษาถึงปัจจัยที่ส่งผลกระทบต่อการท่องเที่ยวโบราณสถานเวียงกุมกาม วัดช้างค้ำ วัดกานโถม วัดเจดีย์เหลี่ยมและวัดอังก่ออำเภอสารภี จังหวัดเชียงใหม่ โดยทำการศึกษาโดยใช้ข้อมูลจากนักท่องเที่ยวที่มาเที่ยวโบราณสถานเวียงกุมกาม เก็บข้อมูลโดยใช้แบบสอบถามเพื่อวิเคราะห์หาปัจจัยที่มีผลต่อการท่องเที่ยวโบราณสถานเวียงกุมกาม จำนวนแบบสอบถาม 300 ชุด ในช่วงวันหยุดสุดสัปดาห์และวันหยุดนักขัตฤกษ์ในเดือนมีนาคม – เดือนเมษายน 2546 ผลการศึกษาพบว่าปัจจัยที่สำคัญคือ ปัจจัยด้านราคา ปัจจัยด้านร้านอาหาร ปัจจัยด้านของที่ระลึก

**จิตรภรณ์ ผืนศิริ (2547)** ศึกษาเรื่องการพยากรณ์ราคาส่งออกข้าวโดยวิธีอาร์มา โดยมีวัตถุประสงค์เพื่อศึกษาความเคลื่อนไหวและพยากรณ์ราคาส่งออกข้าว (ราคา FOB) ของประเทศไทย ชนิดข้าวขาว 100% ชั้น 2 ด้วยวิธีอาร์มา โดยทำการศึกษาใช้ข้อมูลราคาส่งออกข้าว (FOB) ของไทย ชนิดข้าวขาว 100% ชั้น 2 เป็นรายเดือนตั้งแต่เดือน มกราคม พ.ศ. 2531 ถึงเดือน ธันวาคม พ.ศ. 2546 รวมจำนวน 192 ตัวอย่าง โดยใช้วิธีอาร์มา ผลการพยากรณ์ต่อไปข้างหน้า ผลการทดสอบ unit root ที่ระดับ level สัมประสิทธิ์ของ lag length ที่ P-lag เท่ากับ 1 ค่า t-statistic แตกต่างจากศูนย์อย่างมีนัยสำคัญทางสถิติที่ระดับ 1% ทั้งแบบจำลอง without intercept and trend, with intercept and without trend และ with intercept and with trend ค่า ADF test-statistic ที่ระดับ level เปรียบเทียบกับค่าวิกฤตของ Mackinnon ที่ระดับ 1% ทั้ง 3 แบบจำลองมีค่าไม่แตกต่างจากศูนย์อย่างมีนัยสำคัญ (ยอมรับ  $H_0$ ) หมายถึงว่ามี unit root ต้องทำ difference สรุปได้ค่าตัวแปรมีลักษณะเป็น  $I(1)$  และผลการวิเคราะห์แบบจำลอง ARIMA โดยวิธี Box-Jenkins และการตรวจสอบ

ความถูกต้อง ได้ค่าผล ราคาส่งออกข้าวขาว 100% ชั้น 2 ตั้งแต่เดือนมกราคม ถึงเดือนเมษายน 2547 มีค่าเท่ากับ 205, 204, 201 และ 201 ตามลำดับ

**อัญชลี นัสสาสาร (2548)** ศึกษาเรื่องการวิเคราะห์รายจ่ายของนักท่องเที่ยวในเทศกาลลอยกระทงจังหวัดเชียงใหม่ โดยมีวัตถุประสงค์เพื่อศึกษาลักษณะต่างๆ ของนักท่องเที่ยวที่มีผลต่อค่าใช้จ่ายทั้งในและนอกช่วงเทศกาลลอยกระทงของนักท่องเที่ยว และศึกษาการกระจายรายได้จาก การท่องเที่ยวไปสู่กลุ่มธุรกิจต่างๆที่รองรับการท่องเที่ยวในเทศกาลลอยกระทง โดยทำการศึกษา ศึกษาเทศกาลลอยกระทงในจังหวัดเชียงใหม่ในปี พ.ศ. 2546 โดยใช้แบบสอบถามโดยการ สัมภาษณ์ตัวอย่าง 2 กลุ่ม 1) นักท่องเที่ยวทั้งในและนอกเทศกาลลอยกระทงที่มาร่วมงานลอย กระทงในจังหวัดเชียงใหม่ ปี พ.ศ. 2546 จำนวน 400 ตัวอย่าง แบ่งเป็นช่วงเทศกาล 200 ตัวอย่าง และนอกช่วงเทศกาล 200 ตัวอย่าง 2) สัมภาษณ์ผู้ประกอบการ โรงแรมและที่พัก 30 ราย การ วิเคราะห์ข้อมูล โดยหาค่าเฉลี่ยและเปรียบเทียบสัดส่วนร้อยละ และวิเคราะห์แบบจำแนกพหุ (Multiple Classification Analysis : MCA) จากการศึกษาพบว่า ค่าใช้จ่ายนักท่องเที่ยวนอกเทศกาล 2,540.67 บาทต่อคนต่อวัน โดยค่าใช้จ่ายส่วนใหญ่เป็นค่าพาหนะรองลงมาคือค่าที่พัก ค่าซื้อสินค้า ค่าของที่ระลึก ตามลำดับ ส่วนนักท่องเที่ยวในเทศกาล ค่าใช้จ่าย 2,149.21 บาทต่อคนต่อวัน โดย ค่าใช้จ่ายส่วนใหญ่เป็นค่าพาหนะรองลงมาคือค่าที่พัก ค่าซื้อสินค้า ค่าของที่ระลึก ตามลำดับ

**ภารดี ไกรสิทธิ์ (2548)** ศึกษาเรื่องการศึกษาโครงสร้าง พฤติกรรม และผลการ ดำเนินงานของอุตสาหกรรมท่องเที่ยวในจังหวัดเชียงใหม่ โดยมีวัตถุประสงค์เพื่อศึกษาโครงสร้าง ของอุตสาหกรรมท่องเที่ยวในจังหวัดเชียงใหม่ ในด้านการกระจุกตัวของอุตสาหกรรมบริการ ท่องเที่ยวโดยพิจารณา อุตสาหกรรมโรงแรม รีสอร์ท และเกสต์เฮาส์ และอุตสาหกรรมบริการนำ เที่ยว ผลการดำเนินงาน ความสามารถในการทำกำไรของหน่วยธุรกิจ ในอุตสาหกรรมท่องเที่ยว 2 หน่วยธุรกิจระหว่างอุตสาหกรรมโรงแรม รีสอร์ท และเกสต์เฮาส์ และอุตสาหกรรมบริการนำ เที่ยว ประสิทธิภาพของการดำเนินงานของหน่วยธุรกิจ ในอุตสาหกรรมท่องเที่ยวของจังหวัด เชียงใหม่ และมูลค่าเพิ่มของอุตสาหกรรมท่องเที่ยวจังหวัดเชียงใหม่ โดยทำการศึกษา ใช้ข้อมูลใน ปี พ.ศ. 2545 โดยศึกษาโครงสร้างของอุตสาหกรรมท่องเที่ยวทำการศึกษาในหน่วยธุรกิจ 2 หน่วย ธุรกิจของจังหวัดเชียงใหม่ระหว่างอุตสาหกรรมโรงแรม รีสอร์ท และเกสต์เฮาส์ และ อุตสาหกรรมบริการนำเที่ยว ที่มีการจดทะเบียนนิติบุคคลกับสำนักงานธุรกิจการค้าจังหวัดเชียงใหม่ ซึ่งมีการดำเนินงานในปี พ.ศ. 2545 จำนวน 200 บริษัท โดยใช้การศึกษาโครงสร้างด้วยวิธีวัดการ กระจุกตัว ส่วนการศึกษาผลการดำเนินงานใช้อัตราส่วนทางการเงินที่สำคัญๆและดัชนีมูลค่าเพิ่ม ส่วนการศึกษาประสิทธิภาพของอุตสาหกรรม วัดประสิทธิภาพโดยเปรียบเทียบด้วยวิธี Data

Environment Analysis (DEA) ผลการศึกษาพบว่าทั้งอุตสาหกรรมที่พักและบริการนำเที่ยวในจังหวัดเชียงใหม่ มีการกระจุกตัวสูง นั่นคือมีการแข่งขันกันต่ำ การวิเคราะห์อัตราส่วนทางการเงินพบว่าอุตสาหกรรมประสบปัญหาหนี้สินมาก โดยเฉพาะโรงแรม รีสอร์ทและเกสต์เฮาส์ขนาดใหญ่ จะมีปัญหาด้านสภาพคล่อง การทำกำไรและการชำระหนี้ แต่กิจการที่มีชาวต่างชาติเป็นหุ้นส่วนจะมีปัญหาทางด้านสภาพคล่อง แต่มีประสิทธิภาพในการทำกำไรและชำระหนี้ อุตสาหกรรมนำเที่ยวทั้งที่เป็นของคนไทยและมีชาวต่างชาติเป็นหุ้นส่วน ต่างก็ประสบปัญหาเช่นเดียวกับอุตสาหกรรมที่พัก



ลิขสิทธิ์มหาวิทยาลัยเชียงใหม่  
 Copyright© by Chiang Mai University  
 All rights reserved